

**НЕЛИНЕЙНО-ОПТИЧЕСКИЕ ЯВЛЕНИЯ**

PACS 42.65.Dr; 42.25.Hz; 42.25.Kb

**Интерференционное подавление ВКР****В.П.Кочанов**

*Развита теория трехволнового ВКР с учетом нелинейной дисперсии среды для произвольных фаз волн накачки на входе в среду. Предсказан эффект интерференционного подавления ВКР при значениях суммарной фазы трехволновой накачки  $(2n+1)\pi$  ( $n = 0, \pm 1, \pm 2 \dots$ ), обусловленный деструктивной интерференцией поляризаций нерезонансных дипольно-разрешенных переходов. Определено соотношение вкладов в ВКР линейной и нелинейной дисперсий среды. Показано, что при достаточно больших волновых расстройках амплитуда антистоксовой волны испытывает пространственные осцилляции.*

**Ключевые слова:** вынужденное комбинационное рассеяние, интерференция, когерентность, нелинейная дисперсия, фаза.

**1. Введение**

Вынужденное комбинационное рассеяние в общем случае является когерентным процессом. Когерентность означает, что взаимодействуют между собой интерферирующие волны накачки и рассеяния, и волновые уравнения для ВКР не могут быть сведены к уравнениям для интенсивностей волн. Часто возбуждение ВКР проводится бихроматической накачкой, разность частот волн которой равна частоте комбинационного перехода. В этом случае наблюдается эффективная генерация широкого спектра стоксовых и антистоксовых гармоник [1]. Нелинейная дисперсия среды определяет механизм формирования суммарной фазы волн в процессе их когерентного взаимодействия в активной среде [2]. Волновые числа и фазы при этом находятся из решения соответствующих дифференциальных уравнений в отличие от случая линейной дисперсии, когда волновые числа прямо пропорциональны действительным частям линейных поляризумостей. Качественное изменение характера дисперсии, заключающееся во взаимной подстройке фаз, приводит к нелинейному захвату и скачку фаз [2].

Естественно предположить, что на перечисленные выше определяющие особенности когерентного ВКР будет существенным образом влиять соотношение фаз волн накачки на входе в среду. В процессе усиления стоксовой и антистоксовой компонент спонтанного комбинационного рассеяния должна возникать разность фаз. Она также может создаваться контролируемым образом при возбуждении ВКР с помощью двух- и трехволновой накачки, т. е. выступать в качестве независимого параметра в экспериментах. Ранее этот дополнительный физический фактор при рассмотрении ВКР не принимался во внимание, и в теоретических расчетах волны накачки считались синфазными, а в экспериментах фазовые соотношения не контролировались.

**В.П.Кочанов.** Институт оптики атмосферы им. В.Е.Зуева СО РАН, Россия, 634021 Томск, пл. Акад. Зуева, 1; e-mail: koch@iao.ru

Поступила в редакцию 28 июля 2010 г.

Цель настоящей работы заключается в выяснении качественных особенностей и степени влияния соотношения фаз волн накачки на входе в среду на трехволновое ВКР. Данный простой вариант ВКР реализуется при небольших оптических толщинах усиливающей среды. Среда считается газом квантовых Л-систем. Ограничимся случаем ВКР не насыщенного по интенсивности излучения, и будем рассматривать только осевое рассеяние в направлении распространения волны накачки.

**2. Поляризация среды**

Обозначим два нижних состояния дипольно-запрещенного комбинационного перехода как 1 и 2, а незаселенное верхнее состояние – как 3. Уравнения для матрицы плотности среды в случае однородного уширения имеют вид [3]

$$\begin{aligned} \dot{\rho}_1 + \gamma\rho_1 &= \gamma\rho_1^0 + \frac{2d_1\mathcal{E}}{\hbar} \operatorname{Re} i\rho_{31}, \\ \dot{\rho}_2 + \gamma\rho_2 &= \gamma\rho_2^0 + \frac{2d_2\mathcal{E}}{\hbar} \operatorname{Re} i\rho_{32}, \quad \rho_3 = 0, \\ -i\dot{\rho}_{31} + \omega_{31}\rho_{31} &= \frac{\mathcal{E}}{\hbar}(d_1\rho_1 + d_2\rho_{21}), \\ -i\dot{\rho}_{32} + \omega_{32}\rho_{32} &= \frac{\mathcal{E}}{\hbar}(d_2\rho_2 + d_1\rho_{21}^*), \\ \dot{\rho}_{21} + (\Gamma + i\omega_{21})\rho_{21} &= \frac{i\mathcal{E}}{\hbar}(d_2\rho_{31} + d_1\rho_{32}^*). \end{aligned} \quad (1)$$

Здесь  $\rho_{jl}$  и  $\omega_{jl}$  – недиагональные элементы матрицы плотности (поляризации) и частоты переходов  $j \leftrightarrow l$  соответственно;  $\rho_{1,2}$  и  $\rho_{1,2}^0$  – текущие и равновесные населенности уровней комбинационного перехода;  $\rho_3$  – населенность состояния 3;  $d_{1,2}$  – матричные элементы операторов дипольных моментов для нерезонансных дипольно-разрешенных переходов  $1 \leftrightarrow 3$  и  $2 \leftrightarrow 3$  соответственно;  $\gamma$  и  $\Gamma$  – продольная и поперечная скорости релаксации комбинационного перехода;  $\mathcal{E}$  – амплитуда электрического поля излучения в среде;  $\hbar$  – постоянная Планка.

Поле в среде представим как

$$\mathcal{E}(t, z) = E \sum_{n=-1}^1 E_n(z) \cos \Psi_n, \quad \Psi_n = \omega_n t - k_n z + \varphi_n, \quad (2)$$

$$\omega_n = \omega_0 + n\omega_{21}, \quad E_0(0) = 1, \quad E_{-1}(0) \equiv g_{-1}, \quad E_1(0) \equiv g_1,$$

где  $E_n$  – безразмерные амплитуды полей;  $\omega_n$ ,  $k_n$  и  $\varphi_n$  – частоты, волновые числа и начальные фазы основной волны накачки ( $n = 0$ ), стоксовой ( $n = -1$ ) и антистоксовой ( $n = 1$ ) волн;  $z$  – продольная координата;  $t$  – время.

Решение уравнений (1) ищем в виде

$$\rho_{3j} = \sum_{s=-1,1} \sum_{m=-1}^1 \exp(is\Psi_m) R_{sm}^{(j)}, \quad (3)$$

$$j = 1, 2, \quad \rho_{21} = \exp[i(\Psi_{-1} - \Psi_0)].$$

Подстановка выражений (3) в уравнения (1) и применение приближения вращающейся волны [4] приводят к стационарным уравнениям, решение которых с учетом первых нелинейных (кубических) по амплитудам поля членов есть

$$r = i n_0 \kappa E_0 (f_{-1} E_{-1} + f_1 e^{-i\Theta} E_1),$$

$$R_{-1-1}^{(1)} = \frac{ad_1 E_{-1}}{1 - \alpha + \varepsilon} \rho_1^0, \quad R_{-10}^{(1)} = \frac{a}{1 - \alpha} (d_1 E_0 \rho_1^0 + d_2 E_{-1} r),$$

$$R_{-11}^{(1)} = \frac{a}{1 - \alpha - \varepsilon} (d_1 E_{-1} \rho_1^0 + d_2 E_0 r),$$

$$R_{10}^{(1)} = \frac{a}{1 + \alpha} (d_1 E_1 \rho_1^0 + d_2 E_1 e^{i\Theta} r), \quad R_{11}^{(1)} = \frac{ad_1 E_1}{1 + \alpha + \varepsilon} \rho_1^0, \quad (4)$$

$$R_{-1-1}^{(2)} = \frac{a}{1 - \alpha} (d_2 E_{-1} \rho_2^0 + d_1 E_0 r^*),$$

$$R_{-10}^{(2)} = \frac{a}{1 - \alpha - 2\varepsilon} (d_2 E_0 \rho_2^0 + d_1 E_{-1} r^*),$$

$$R_{10}^{(2)} = \frac{ad_2 E_1}{1 + \alpha - 2\varepsilon} \rho_2^0, \quad R_{1-1}^{(2)} = \frac{ad_2 E_{-1}}{1 + \alpha - 2\varepsilon} \rho_2^0,$$

$$R_{11}^{(2)} = \frac{a}{1 + \alpha - \varepsilon} (d_2 E_0 \rho_2^0 + d_1 E_{-1} r^*),$$

$$R_{11}^{(2)} = \frac{a}{1 + \alpha} (d_2 E_1 \rho_2^0 + d_1 E_0 e^{-i\Theta} r^*);$$

$$\alpha \equiv \frac{\omega_0}{\omega_{31}}, \quad \varepsilon \equiv \frac{\omega_{21}}{\omega_{31}}, \quad \kappa \equiv \frac{d_1 d_2 E^2}{4\hbar^2 \Gamma \Delta}, \quad \Delta \equiv \omega_{31} \left( \frac{1}{1 - \alpha} + \frac{1}{1 + \alpha} \right)^{-1},$$

$$\Theta \equiv (2k_0 - k_{-1} - k_1)z + \Phi, \quad \Phi \equiv \varphi_{-1} + \varphi_1 - 2\varphi_0,$$

$$n_0 \equiv \rho_1^0 - \rho_2^0, \quad a \equiv \frac{E}{2\hbar\omega_{31}}.$$

Поляризация среды определяется как

$$P = 2N \operatorname{Re}(d_1 \rho_{31} + d_2 \rho_{32}) \equiv \sum_{n=-1}^1 (P_{sn} \sin \Psi_n + P_{cn} \cos \Psi_n), \quad (5)$$

где  $N$  – концентрация активных молекул;  $P_{cn}$  и  $P_{sn}$  – действительные и мнимые части амплитуд волн поляризации. Вычисление величин  $P_{sn}$  и  $P_{cn}$  (5) на основе выражений (3), (4) дает

$$P_{s-1} = -\frac{b(f_{-1} E_{-1} + f_1 \cos \Theta E_1) E_0^2}{(1 - \alpha^2)(1 - \alpha)(1 + \alpha - \varepsilon)},$$

$$P_{s0} = \frac{b}{(1 - \alpha^2)^2} (f_{-1}^2 E_{-1}^2 - f_1^2 E_1^2) E_0,$$

$$P_{s1} = \frac{b(f_{-1} \cos \Theta E_{-1} + f_1 E_1) E_0^2}{(1 - \alpha^2)(1 + \alpha)(1 - \alpha - \varepsilon)}, \quad (6)$$

$$P_{c-1} = \frac{2EN}{\hbar\omega_{31}(1 - \alpha)} \left[ \frac{1 - \alpha}{1 - (\alpha - \varepsilon)^2} d_1^2 \rho_1^0 \right. \\ \left. + \frac{1 - \varepsilon}{1 + \alpha - 2\varepsilon} d_2^2 \rho_2^0 \right] E_{-1} + \frac{b \sin \Theta E_0^2 E_1}{(1 - \alpha^2)[(1 - \varepsilon)^2 - \alpha^2]},$$

$$P_{c0} = \frac{2NE}{\hbar\omega_{31}} \left[ \frac{1}{1 - \alpha^2} d_1^2 \rho_1^0 + \frac{1 - \varepsilon}{(1 - \varepsilon)^2 - \alpha^2} d_2^2 \rho_2^0 \right] E_0,$$

$$P_{c1} = \frac{2EN}{\hbar\omega_{31}(1 + \alpha)} \left[ \frac{1 + \alpha}{1 - (\alpha + \varepsilon)^2} d_1^2 \rho_1^0 \right. \\ \left. + \frac{1 - \varepsilon}{1 - \alpha - 2\varepsilon} d_2^2 \rho_2^0 \right] E_1 - \frac{b \sin \Theta E_0^2 E_{-1}}{(1 - \alpha^2)[(1 - \varepsilon)^2 - \alpha^2]},$$

$$f_{\mp 1} = \frac{1 \pm \alpha}{1 \pm \alpha - \varepsilon}, \quad b \equiv \frac{N n_0 d_1^2 d_2^2 E^3}{\hbar^3 \Gamma \omega_{31}^2} \left( 1 - \frac{\varepsilon}{2} \right)^2.$$

Отметим, что в рассматриваемом приближении действительная часть поляризации  $P_{c0}$ , создаваемая волной накачки, линейна по амплитуде поля.

### 3. Уравнения для суммарной фазы и медленных амплитуд

Дифференцирование выражения для поля (2) при сохранении только первых производных амплитуд по координате и подстановка результатов в волновое уравнение

$$\left( \frac{\partial^2}{\partial z^2} - \frac{1}{c^2} \frac{\partial^2}{\partial t^2} \right) \mathcal{E} = \frac{4\pi}{c^2} \frac{\partial^2}{\partial t^2} P,$$

где  $c$  – скорость света, в приближении вращающейся волны дают

$$2 \left( k_n + z \frac{dk_n}{dz} \right) \frac{dE_n}{dz} + \left( 2 \frac{dk_n}{dz} + z \frac{d^2 k_n}{dz^2} \right) E_n = -\frac{4\pi \omega_n^2}{c^2 E} P_{sn}, \\ k_n + z \frac{dk_n}{dz} = \frac{\omega_n}{c} \sqrt{1 + \frac{4\pi}{EE_n} P_{cn}} \approx \frac{\omega_n}{c} \left( 1 + \frac{4\pi}{EE_n} P_{cn} \right), \quad (7)$$

$$n = -1, 0, 1.$$

Использование приближения, связанного с разложением квадратного корня в трех последних уравнениях для волновых чисел (7), как показывают соответствующие численные расчеты, приводит к занижению амплитуды антистоксовой волны примерно на 5 % в области ее выхода на стационарное значение и практически не меняет амплитуду стоксовой волны и суммарную фазу  $\Theta$  (4). В дальнейшем ограничимся этим приближением.

Выражая производные волновых чисел в первых трех уравнениях (7) из последних уравнений с использованием выражений (6) и разрешая эту систему относительно первых производных амплитуд, в кубическом по полю приближении получаем уравнения для амплитуд

$$\begin{aligned} \frac{dE_{-1}}{d\zeta} &= \left(1 - \frac{\varepsilon}{\alpha}\right) f_{-1} (f_{-1} E_{-1} + f_1 \cos \Theta E_1) E_0^2, \\ \frac{dE_0}{dz} &= -(f_{-1}^2 E_{-1}^2 - f_1^2 E_1^2) E_0, \\ \frac{dE_1}{d\zeta} &= -\left(1 + \frac{\varepsilon}{\alpha}\right) f_1 (f_{-1} \cos \Theta E_{-1} + f_1 E_1) E_0^2; \\ \zeta &\equiv Gz, \quad G = \frac{4\pi\alpha(1 - \varepsilon/\alpha)^2 N n_0 d_1 d_2 \kappa}{(1 - \alpha^2) c \hbar n_d}, \\ n_d &= 1 + \frac{4\pi N (d_1^2 \rho_1^0 + d_2^2 \rho_2^0)}{(1 - \alpha^2) \hbar \omega_{31}}. \end{aligned} \quad (8)$$

Уравнения (8) имеют интеграл движения (соотношения Мэнли – Рой [3, 5])

$$\begin{aligned} \frac{E_{-1}^2}{1 - \varepsilon/\alpha} + E_0^2 + \frac{E_1^2}{1 + \varepsilon/\alpha} &= \text{const} \\ &= 1 + \frac{g_{-1}^2}{1 - \varepsilon/\alpha} + \frac{g_1^2}{1 + \varepsilon/\alpha} \equiv U. \end{aligned} \quad (9)$$

С учетом определения параметров  $\varepsilon$  и  $\alpha$  (4) данные соотношения представляют собой сумму отношений плотностей энергий волн к их частотам и выражают закон сохранения полного числа квантов всех волн, участвующих в нерезонансном ВКР. Поскольку вследствие соотношений (9) интенсивность основной волны накачки определяется интенсивностями рассеянных волн, далее будем прослеживать поведение только амплитуд стоксовой и антистоксовой волн.

Уравнение для суммарной фазы  $\Theta$  (4) получается из уравнений (7) с применением разложения в ряды линейных частей действительных поляризаций (6) по малому параметру  $\varepsilon$  с точностью до второго порядка включительно:

$$\begin{aligned} \frac{d\Theta}{d\zeta} &= -\eta + n_d f_{-1} f_1 \sin \Theta \frac{(1 + \varepsilon/\alpha) E_{-1}^2 - (1 - \varepsilon/\alpha) E_1^2}{E_{-1} E_1}, \\ \eta &= \frac{2n_d(3 + \alpha^2)(d_1^2 \rho_1^0 + d_2^2 \rho_2^0)}{(1 - \varepsilon/2)^2 (1 - \alpha^2)^2 n_0 \kappa d_1 d_2} \varepsilon^2, \end{aligned} \quad (10)$$

где  $\eta = (2k_0 - k_{-1} - k_1)/G$  – безразмерная волновая расстройка, обусловленная линейными по амплитудам полей действительными частями поляризаций.

Первое и третье уравнения (8) с учетом следующего из соотношения (9) равенства

$$E_0^2 = U - \frac{E_{-1}^2}{1 - \varepsilon/\alpha} - \frac{E_1^2}{1 + \varepsilon/\alpha} \quad (11)$$

совместно с уравнением (10) образуют замкнутую систему уравнений для описания трехволнового ВКР в условиях нелинейной дисперсии среды. Граничными условиями для нее являются следующие:

$$E_{-1}(0) = g_{-1}, \quad E_1(0) = g_1, \quad \Theta(0) = \Phi.$$

В пределе  $\varepsilon \rightarrow 0$  полученная система уравнений с точностью до обозначений совпадает с уравнениями (4) работы [6], с той лишь разницей, что последние описывают как осевое, так и конусное рассеяние.

#### 4. Пространственное развитие ВКР

Оценим параметры задачи применительно к ВКР на вращательном переходе  $J = 1 \leftrightarrow J = 3$  молекулы водорода. Для исходных значений параметров  $\omega_{21} = 587 \text{ см}^{-1}$ ,  $\omega_0 = 1.88 \times 10^4 \text{ см}^{-1}$  ( $\lambda = 532 \text{ нм}$ ),  $\omega_{31} = 10^5 \text{ см}^{-1}$ ,  $N = 2.69 \times 10^{19} \text{ см}^{-3}$  (давление 1 атм),  $\rho_1^0 = 0.493$ ,  $\rho_2^0 = 0.249$ ,  $n_0 = 0.244$ ,  $\Gamma = 0.1 \text{ см}^{-1}$ ,  $d_1 = d_2 = 5D$  и интенсивности основной компоненты накачки 50 МВт/см<sup>2</sup> рассчитываемые параметры таковы:  $\alpha = 0.19$ ,  $\varepsilon = 0.0059$ ,  $\Delta = 4.8 \times 10^4 \text{ см}^{-1}$ ,  $f_{-1} = 1.005$ ,  $f_1 = 1.007$ ,  $n_d = 1.00033$ ,  $G = 0.175 \text{ см}^{-1}$ ,  $\kappa = 0.0137$  и  $\eta = 0.05$ .

Численное решение системы уравнений (8)–(11) показывает, что в случае малых волновых расстроек  $\eta$  и относительно больших и близких начальных значений амплитуд стоксовой и антистоксовой волн их амплитуды при  $\zeta > 0.5$  существенно зависят от начальной суммарной фазы волн накачки  $\Phi$  (рис.1,*a, b*). При  $\Phi = \pm\pi$  амплитуды обеих волн меняются с расстоянием значительно медленнее, чем при  $\Phi \sim 0$ . Таким образом, ВКР подавляется. Из расчетов следует, что данный эффект существует при  $g_{-1} \approx g_1 \geq 0.1$  и более выражен при возрастании  $g_{\pm 1}$ .

Физический механизм подавления ВКР проясняется на основе уравнений (8)–(11) в пределе  $\eta, \varepsilon \rightarrow 0$ ,  $f_{\pm 1} \rightarrow 1$ . В случае  $\Phi = \pm\pi$ , когда фаза в среде принимает постоянное значение  $\Theta = \pm\pi$  (рис.1,*c*), множитель  $\cos \Theta$  в правых частях уравнений (8) для амплитуд волн равен  $-1$ . Система уравнений (8)–(11) при этом сводится к двум уравнениям для амплитуд:

$$\frac{dE_{-1}}{d\zeta} = \frac{dE_1}{d\zeta} \approx (E_{-1} - E_1) E_0^2, \quad (12)$$

и равенству (11).

Уравнения (12) имеют дополнительно к соотношениям (9) интеграл движения

$$E_{-1} - E_1 \approx \text{const} = g_{-1} - g_1. \quad (13)$$

Из уравнений (12), (13) следует, что в случае  $g_{-1} \approx g_1$  производные амплитуд стоксовой и антистоксовой волн малы и ВКР подавляется. Разность амплитуд (13) при  $\Theta = \pm\pi$  пропорциональна мнимой части постоянной составляющей поляризации комбинационного перехода  $r$  (4), которая, как видно из последнего уравнения (1), пропорциональна, в свою очередь, разности поляризаций нерезонансных дипольно-разрешенных переходов. Таким образом, подавление ВКР обусловлено деструктивной

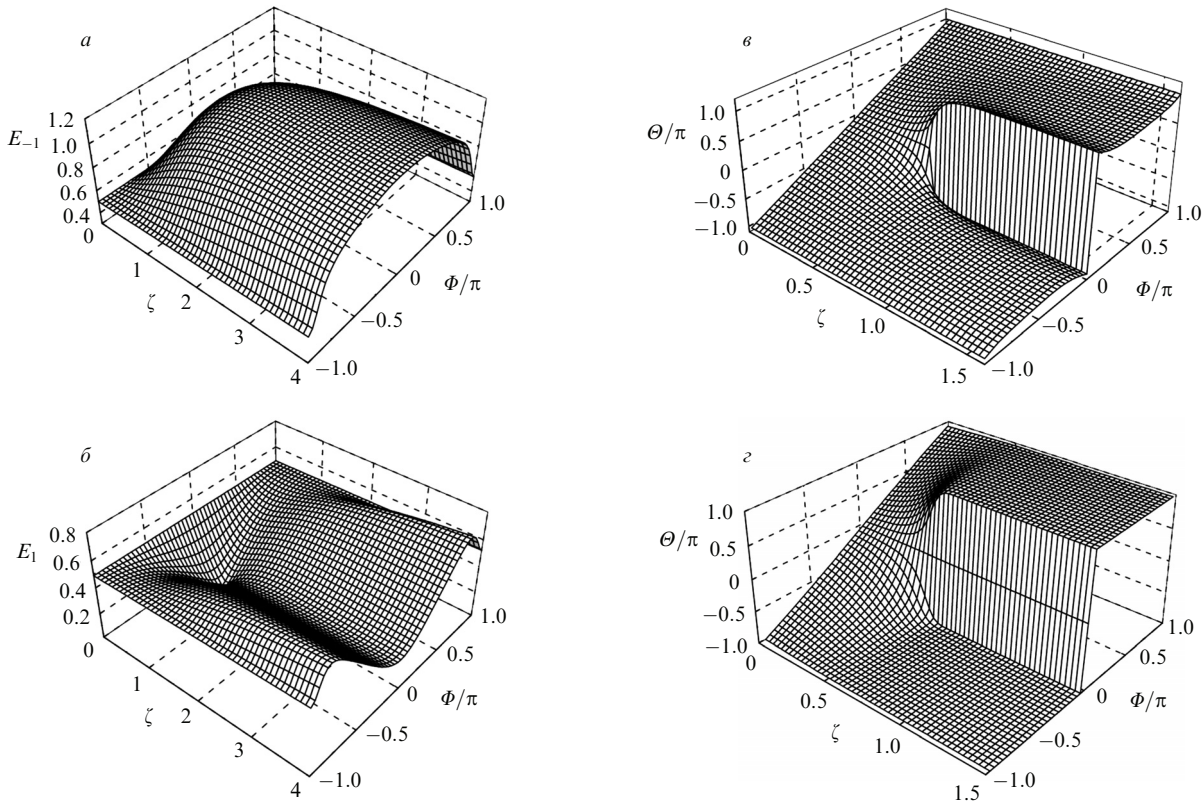


Рис.1. Зависимости амплитуд стоксовой (*а*) и антистоксовой (*б*) волн, а также суммарной фазы (*в*, *г*) от безразмерной длины  $\zeta$  и начальной суммарной фазы  $\Phi$  при  $\eta = 0.007$ ,  $g_{-1} = 0.5$ ,  $g_1 = 0.49$ ,  $\kappa = 0.1$ ,  $\varepsilon = 0.006$ ,  $\alpha = 0.2$ . Фаза  $\Theta$  (рис.1,*в*,*г*) рассчитана по формуле (16) для  $h_0 = 180$ ,  $q = 0.07$  и  $\zeta_0 = 0.7$ .

интерференцией этих поляризаций, аналогичной деструктивной интерференции, являющейся причиной когерентного пленения населенностей [7] при резонансном взаимодействии двух волн с дипольно-разрешенными переходами  $\Lambda$ -системы.

Обсудим поведение фазы. При малом значении начальной фазы  $\Phi \approx 0$  фаза в среде  $\Theta$  практически не меняется вплоть до некоторого значения  $\zeta = \zeta_0 \leq 1$ , а в точке  $\zeta_0 \approx g_1/g_{-1}$  испытывает скачок на  $\pi$  и далее быстро принимает стационарное значение (рис.1,*в*). Такое поведение получило название нелинейного захвата и скачка фазы [2, 6]. При положительных начальных фазах,  $\Phi > 0$ , скачок фазы в среде  $\Delta\Theta$  при возрастании длины является положительным,  $\Delta\Theta = \pi$ , а при  $\Phi \leq 0$  – отрицательным,  $\Delta\Theta = -\pi$ . Следовательно, малое изменение начальных фаз от отрицательных значений к положительным вызывает скачок фазы в точке с координатой  $\zeta > \zeta_0$  на  $2\pi$ . При  $|\Phi| > 0.1$  скачок фазы быстро исчезает. Данные особенности поведения фазы ранее в литературе не отмечались.

Качественное поведение фазы (затягивание, скачок и быстрый выход на стационарное значение) объясняется кардинальным изменением механизма дисперсии, которая в нелинейном случае определяется дифференциальными уравнениями (7), (10). Главной особенностью уравнения (10) является зависимость производной фазы от  $\sin\Theta$ , возникающая вследствие кубической по полю нелинейности поляризации среды. Данный механизм действует следующим образом. В пределе  $\eta \rightarrow 0$  уравнение (10) можно представить в виде

$$\frac{d\Theta}{d\zeta} \approx h \sin\Theta, \quad \Theta(0) = \Phi, \quad (14)$$

где  $h$  – функция координаты, определяемая амплитудами волн. Упрощая ситуацию, положим функцию  $h$  постоянной. В этом случае уравнение (14) имеет решение

$$\Theta = 2\arccot\left(e^{-h\zeta}\cot\frac{\Phi}{2}\right). \quad (15)$$

Поведение функции  $\Theta(\zeta, \Phi)$  качественно совпадает с поведением фазы, представленным на рис.1,*в*, но в отличие от расчетной фазы функция  $\Theta(\zeta, \Phi)$  является более гладкой и не имеет скачков. Из расчетов зависимости  $h(\zeta)$  в условиях, принятых при построении рис.1, следует, что функцию  $h(\zeta)$  можно аппроксимировать выражением  $h = h_0/[1 + (\zeta - \zeta_0)^2/q^2]$ , где  $h_0$ ,  $\zeta_0$  и  $q$  – постоянные. Использование данной аппроксимации в уравнении (14) приводит к решению

$$\Theta = 2\arccot\left\{\exp\left[-h_0q\left(\arctan\frac{\zeta - \zeta_0}{q} + \arctan\frac{\zeta_0}{q}\right)\right]\cot\frac{\Phi}{2}\right\}. \quad (16)$$

Выражение (16) в случае  $q \ll 1$  и  $h_0q \gg 1$  при соответствующем выборе параметров достаточно хорошо количественно описывает затягивание (нелинейный захват), скачок и быстрый выход на стационарное значение фазы  $\Theta$  (рис.1,*в*). Из решения (16) также очевидно следует объяснение скачков фазы при изменении пространственной координаты и смене знака начальной фазы.

Проведенный выше анализ поведения фазы показал, что скачок фазы возникает, когда ее производная велика

( $h \gg 1$ ). При  $g_{-1} \approx g_1$  это происходит из-за того, что, как следует из третьего уравнения (8) с отрицательной правой частью, амплитуда антистоксовой волны при  $\zeta < \zeta_0$  линейно убывает от начального значения почти до нуля\*. Далее скачок фазы приводит к изменению знаков  $\cos \Theta$  и правой части третьего уравнения (8) для амплитуды антистоксовой волны, в результате чего амплитуда остается положительной и возрастает. Вместе с тем существует и другой способ увеличения производной фазы – применение бихроматической накачки. В этом случае  $g_{-1} \approx 1$ , а величина  $g_1$  определяется спонтанной затравкой, на несколько порядков меньшей начальной амплитуды стоксовой компоненты накачки. Как видно из уравнения (10), при этом величина  $h \approx g_{-1}/g_1 \gg 1$  для  $\zeta = 0$ . Следовательно, скачок фазы происходит сразу на входе в среду. Численное решение уравнений (8)–(11) для этого случая представлено на рис.2. Поведение фазы в рассматриваемом случае (рис.2,*a*) согласуется с приведенными выше качественными соображениями. Поскольку нелинейная дисперсия начинает влиять при  $\zeta \ll 1$ , усиление стоксовой и антистоксовой волн уже в начале среды определяется лишь малой волновой расстройкой  $\eta$ , т. е. происходит оптимальным образом в режиме когерентного ВКР. Это объясняет высокую эффективность генерации гармоник в многочастотном ВКР при использовании бихроматической накачки [1]. Зависимость амплитуд рассеянных волн от начальной фазы  $\Phi$  при этом полностью исчезает (рис.2,*a*,*b*), а амплитуда антистоксовой волны с точностью до множителя совпадает с амплитудой стоксовой волны. Последнее связано с тем, что в данном случае применимы приближенные уравнения (12), (13), в которых  $g_{-1} \gg g_1$ .

Предыдущее рассмотрение проводилось для случая малых безразмерных волновых расстроек ( $\eta \ll 1$ ), когда преобладает нелинейная дисперсия среды. Проследим теперь соотношение вкладов линейной и нелинейной дисперсий, которое задается величиной  $\eta$ . Как видно из формулы для  $\eta$  (10), величина  $\eta$  возрастает при уменьшении параметра насыщения ВКР  $\kappa$  (4) (мощности накачки) и разности населенностей, а также при увеличении частоты комбинационного перехода и угловой расходимости излучения [1]. Расчеты показывают, что поведение фазы и амплитуды антистоксовой волны при возрастании расстройки и вариации начальных амплитуд  $g_{-1} \approx g_1$  отличается большим разнообразием. А именно, при достаточно больших расстройках скачок фазы  $\Theta$  происходит на фоне ее убывания с ростом координаты по закону  $\Theta = -\eta\zeta + \Phi$ , который следует из уравнения (10) с опущенным слагаемым в правой части, определяемым нелинейной дисперсией. При некотором критическом значении  $\eta = \eta_0$  скачок фазы полностью исчезает. Величина  $\eta_0$  увеличивается с уменьшением начальных амплитуд. В частности,  $\eta_0 = 3.8$  для  $g_{-1} = 0.5$  и  $8.2$  для  $g_{-1} = 0.2$ .

Амплитуды волн, начиная с  $\eta \simeq 3 - 5$ , осцилируют с частотой  $\eta$ . Осцилляции намного более выражены для антистоксовой волны, и с ростом  $\eta$  их амплитуда уменьшается, составляя несколько процентов для больших значений  $\eta$  ( $\eta \approx 80$ ). Осцилляции амплитуды антистоксовой волны происходят одновременно с ее общим убыва-

\* С учетом только линейной дисперсии, как показывает решение соответствующих уравнений, в точке  $\zeta = \zeta_0$  амплитуда антистоксовой волны обращается в нуль и далее становится отрицательной, что означает скачок фазы на  $\pi$ .

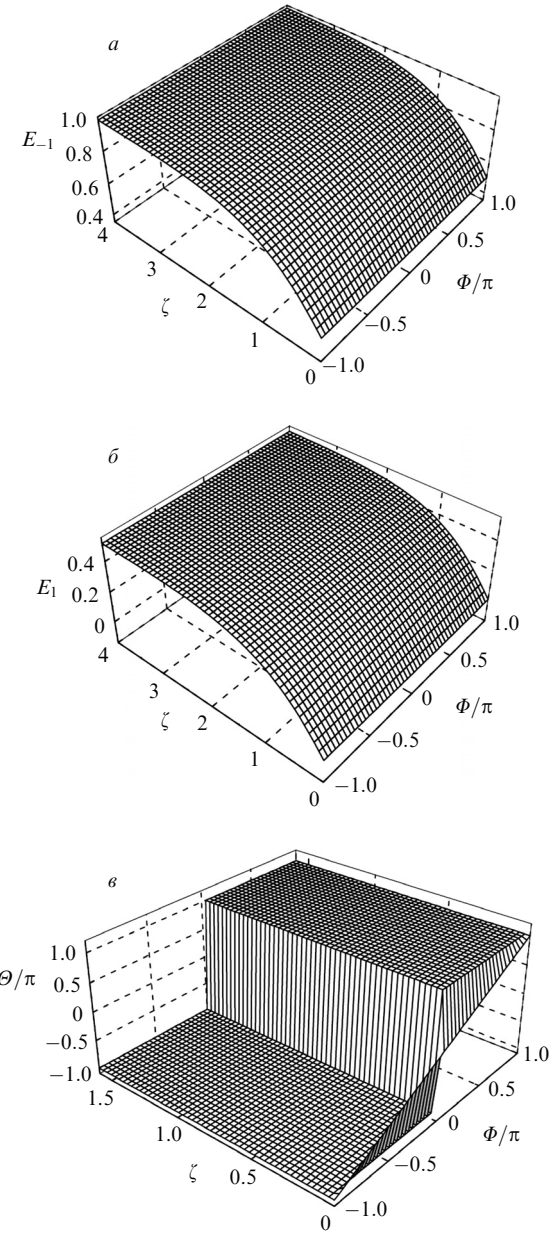


Рис.2. Амплитуды стоксовой (*a*) и антистоксовой (*b*) волн, а также фазы  $\Theta$  (*c*) в условиях бихроматической накачки при  $g_{-1} = 0.5$ ,  $g_1 = 0.0001$ ,  $\eta = 0.007$ ,  $\kappa = 0.1$ ,  $\varepsilon = 0.006$ ,  $\alpha = 0.2$ .

нием с ростом длины вплоть до нуля. Пример поведения амплитуд волн и фазы для переходного значения волновой расстройки приведен на рис.3.

При  $\eta > 100$  осцилляции амплитуд в уравнениях (8) усредняются, и эти уравнения сводятся к уравнениям для безразмерных интенсивностей волн  $W_{\pm 1} \equiv E_{\pm 1}^2$ :

$$\begin{aligned} \frac{dW_{-1}}{d\zeta} &= 2\left(1 - \frac{\varepsilon}{\alpha}\right)f_{-1}^2 W_{-1} \left(U - \frac{W_{-1}}{1 - \varepsilon/\alpha} - \frac{W_1}{1 + \varepsilon/\alpha}\right), \\ \frac{dW_1}{d\zeta} &= -2\left(1 + \frac{\varepsilon}{\alpha}\right)f_1^2 W_1 \left(U - \frac{W_{-1}}{1 - \varepsilon/\alpha} - \frac{W_1}{1 + \varepsilon/\alpha}\right). \end{aligned} \quad (17)$$

В результате ВКР становится некогерентным процессом и не зависит от фазы.

Трансцендентное решение уравнений (17) в случае  $\varepsilon = 0$ ,  $f_{\pm 1} = 1$  имеет вид

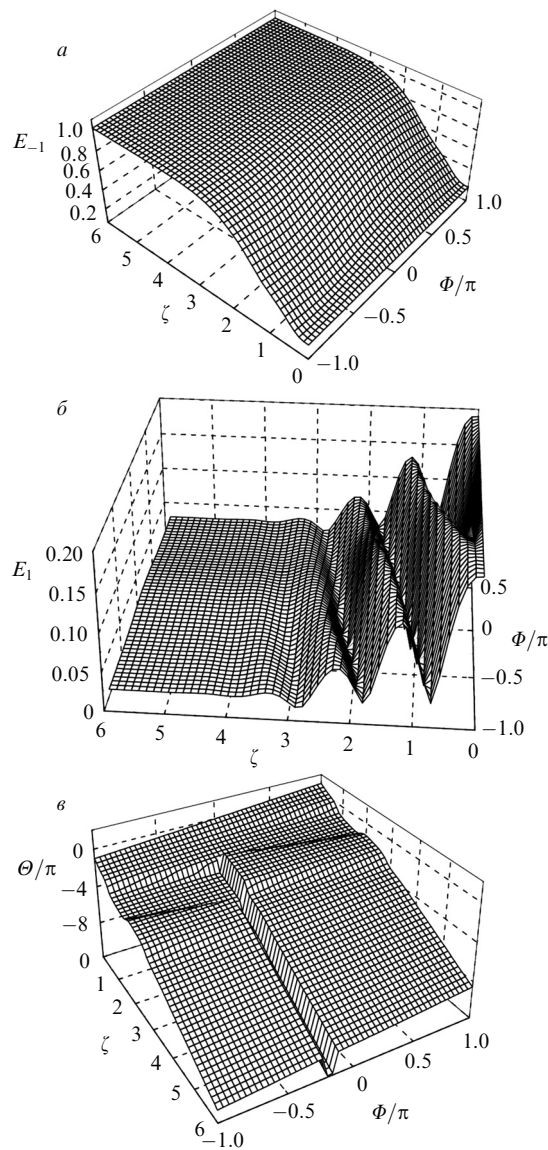


Рис.3. Амплитуды стоксовой (а) и антистоксовой (б) волн, а также фазы  $\Theta$  (в) при  $\eta = 6$ ,  $g_{-1} = 0.2$ ,  $g_1 = 0.19$ ,  $\varepsilon = 0.006$ ,  $\alpha = 0.2$ .

$$\zeta = \frac{1}{2Q(g_1^2 - W_1)} \ln \left( \frac{U - 2g_1^2 - Q}{U - 2g_1^2 + Q} \frac{U + Q - 2W_1}{U - Q - 2W_1} \right), \quad (18)$$

$$U = 1 + g_{-1}^2 + g_1^2,$$

$$Q \equiv \sqrt{1 + 2g_{-1}^2 + 2g_1^2 + (g_{-1}^2 - g_1^2)^2},$$

$$W_{-1} = g_{-1}^2 g_1^2 W_1^{-1}.$$

Графическое решение (18) для различных значений  $g_{-1}^2$  и  $g_1^2$  показывает, что во всех случаях интенсивность антистоксовой волны монотонно убывает от начального значения до нуля, а интенсивность стоксовой волны монотонно возрастает до предельного значения, определяемого соотношением (9).

Отметим, что влияние нелинейной дисперсии среды на антистоксову компоненту ВКР является определяющим при  $\eta \leq 1$  и заметно сказывается в широком интервале значений  $\eta$  ( $1 < \eta < 50$ ), в том числе в случае малых параметров насыщения. Следовательно, обусловленные нелинейной дисперсией эффекты должны наблюдаться при ВКР не только на вращательных, но и на колебательных переходах молекул.

Автор благодарен М.М.Макогону за полезные обсуждения данной статьи.

1. Лосев Л.Л., Луценко А.П. *Квантовая электроника*, **20**, 1054 (1993).
2. Бутылкин В.С., Каплан А.Е., Хронопуло Ю.Г., Якубович Е.И. *Резонансные взаимодействия света с веществом* (М.: Наука, 1977).
3. Кочанов В.П., Богданова Ю.В. *ЖЭТФ*, **123**, 233 (2003).
4. Аллен Л., Эберли Дж. *Оптический резонанс и двухуровневые атомы* (М.: Мир, 1978).
5. Ландау Л.Д., Лифшиц Е.М. *Электродинамика сплошных сред* (М.: Наука, 1982, с. 510).
6. Бутылкин В.С., Венкин Г.В., Протасов В.П. и др. *ЖЭТФ*, **70**, 829 (1976).
7. Агапьев Б.Д., Горный М.Б., Матисов Б.Г., Рождественский Ю.В. *УФН*, **163**, 1 (1993).